

III. Primera forma fundamental

Geometría de curvas y superficies, 20-21

(José Luis Fernández/Pablo Fernández)

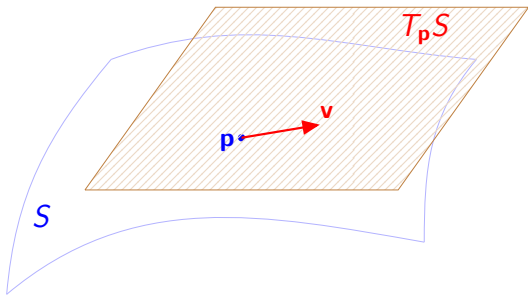
3.1 Primera forma cuadrática fundamental

Primera forma

Sea S una superficie regular.

Para cada punto $\mathbf{p} \in S$, denotamos por $I_{\mathbf{p}}$ a la **forma cuadrática (cuadrática fundamental)** en el plano tangente $T_{\mathbf{p}}S$ que a cada $\mathbf{v} \in T_{\mathbf{p}}S$ le asigna

$$I_{\mathbf{p}}(\mathbf{v}) = \langle \mathbf{v}, \mathbf{v} \rangle = \|\mathbf{v}\|^2.$$



I_p es la primera forma cuadrática (fundamental) de S en el punto p .

Es notación: $I_p(v)$ es simplemente el módulo al cuadrado del vector v tangente a S en p .

Cada I_p es una forma cuadrática definida positiva.

I_p es la forma cuadrática asociada a la forma bilineal simétrica

$$(u, v) \in T_p S \times T_p S \mapsto \langle u, v \rangle \in \mathbb{R}.$$

Primera forma cuadrática en coordenadas

Sea $\mathbb{X} : U \subset \mathbb{R}^2 \rightarrow \mathbb{R}^3$ **carta de S en \mathbf{p}** .

Sea $\mathbf{p} \in \mathbb{X}(U)$. Pongamos que $\mathbf{p} = \mathbb{X}(u_0, v_0)$, donde $(u_0, v_0) \in U$.

La base natural del plano tangente $T_{\mathbf{p}}S$ asociada a la carta \mathbb{X} es

$$\{\mathbb{X}_u(u_0, v_0), \mathbb{X}_v(u_0, v_0)\}.$$

Vamos a expresar la primera forma fundamental $I_{\mathbf{p}}$ de S en \mathbf{p} en **coordenadas** con respecto a esa base natural de $T_{\mathbf{p}}S$.

Con notación tradicional que proviene de ... Gauss, denotamos

$$E(u, v) = \langle \mathbb{X}_u(u, v), \mathbb{X}_u(u, v) \rangle = \|\mathbb{X}_u(u, v)\|^2,$$

$$F(u, v) = \langle \mathbb{X}_u(u, v), \mathbb{X}_v(u, v) \rangle = \langle \mathbb{X}_v(u, v), \mathbb{X}_u(u, v) \rangle,$$

$$G(u, v) = \langle \mathbb{X}_v(u, v), \mathbb{X}_v(u, v) \rangle = \|\mathbb{X}_v(u, v)\|^2.$$

22

CAROLI FRIDERICI GAUSS

11.

Formulae modo inuentae iam aliam superstruemus, quae inter fertilissima theoremata in doctrina de superficiebus curvis referenda est. Introducamus sequentes notationes:

$$aa + bb + cc = E$$

$$aa' + bb' + cc' = F$$

$$a'a' + b'b' + c'c' = G$$

Gauss: *Disquisitiones generales circa superficies curvas*, 1828.

DISQUISITIONES GENERALES

CIRCA

SUPERFICIES CURVAS

AUCTORE

CAROLO FRIDERICO GAUSS.



GOTTINGAE

Typis Dieterichianis.

MDCCCXXVIII.

Las funciones E, F, G son C^∞ en el dominio U de parámetros.

- $E(u_0, v_0)$ es el cuadrado de la rapidez de la curva coordenada $\mathbb{X}(u, v_0)$ en $\mathbb{X}(u_0, v_0)$, cuyo vector velocidad es $\mathbb{X}_u(u, v_0)$.
- $G(u_0, v_0)$ es el cuadrado de la rapidez de la curva coordenada $\mathbb{X}(u_0, v)$ en $\mathbb{X}(u_0, v_0)$, cuyo vector velocidad es $\mathbb{X}_v(u_0, v)$.
- Si se tiene que $F \equiv 0$, entonces las curvas coordenadas se cortan perpendicularmente en cada intersección.

Para un vector tangente $\mathbf{v} \in T_{\mathbf{p}}S$, dado respecto de la base $\{\mathbb{X}_u(u_0, v_0), \mathbb{X}_v(u_0, v_0)\}$ por

$$\mathbf{v} = a \mathbb{X}_u(u_0, v_0) + b \mathbb{X}_v(u_0, v_0),$$

se tiene

$$\begin{aligned} I_{\mathbf{p}}(\mathbf{v}) &= \langle \mathbf{v}, \mathbf{v} \rangle \\ &= \langle a \mathbb{X}_u(u_0, v_0) + b \mathbb{X}_v(u_0, v_0), a \mathbb{X}_u(u_0, v_0) + b \mathbb{X}_v(u_0, v_0) \rangle \\ &= a^2 E(u_0, v_0) + 2ab F(u_0, v_0) + b^2 G(u_0, v_0). \end{aligned}$$

La matriz simétrica

$$\begin{pmatrix} E(u_0, v_0) & F(u_0, v_0) \\ F(u_0, v_0) & G(u_0, v_0) \end{pmatrix}$$

es la **matriz de la forma cuadrática I_p** respecto de $\{\mathbb{X}_u(u_0, v_0), \mathbb{X}_v(u_0, v_0)\}$.

Como I_p es forma definida positiva, se tiene que

$$\det \begin{pmatrix} E(u_0, v_0) & F(u_0, v_0) \\ F(u_0, v_0) & G(u_0, v_0) \end{pmatrix} = E(u_0, v_0)G(u_0, v_0) - F(u_0, v_0)^2 > 0.$$

Por supuesto, $E(u_0, v_0) > 0$ y $G(u_0, v_0) > 0$.

Pero $F(u_0, v_0)$ puede ser positiva, negativa o cero.

Ejemplos de primera forma

Ejemplo 1. Plano. Carta (global) $X(u, v) = (u, v, 0)$, para $(u, v) \in \mathbb{R}^2$. Se tiene

$$\begin{aligned} \mathbb{X}_u(u, v) &= (1, 0, 0) \\ \mathbb{X}_v(u, v) &= (0, 1, 0) \end{aligned} \quad \Rightarrow \quad \begin{cases} E \equiv 1 \\ G \equiv 1 \\ F \equiv 0 \end{cases}$$

Ejemplo 2. Cilindro. Carta $X(\theta, h) = (\cos \theta, \sin \theta, h)$, para $h \in \mathbb{R}$, $0 < \theta < 2\pi$. Se tiene

$$\begin{aligned} \mathbb{X}_u(\theta, h) &= (\sin \theta, \cos \theta, 0) \\ \mathbb{X}_v(\theta, h) &= (0, 0, 1) \end{aligned} \quad \Rightarrow \quad \begin{cases} E \equiv 1 \\ G \equiv 1 \\ F \equiv 0 \end{cases}$$

Ejemplo 3. Grafo de función. Carta (global)

$$X(u, v) = (u, v, f(u, v)), \quad \text{para } (u, v) \in U \subset \mathbb{R}^2.$$

Se tiene

$$\begin{aligned} \mathbb{X}_u(u, v) &= (1, 0, f_u(u, v)) \\ \mathbb{X}_v(u, v) &= (0, 1, f_v(u, v)) \end{aligned} \quad \Rightarrow \quad \begin{cases} E(u, v) = 1 + f_u^2(u, v), \\ G(u, v) = 1 + f_v^2(u, v), \\ F(u, v) = f_u(u, v)f_v(u, v). \end{cases}$$

Si $f(u, v) = u + v$, entonces $f_u = f_v = 1$, y por tanto $F \equiv 1$.

Si $f(u, v) = u - v$, entonces $f_u = 1$ y $f_v = -1$, y por tanto $F \equiv -1$.

Ejemplo 4. Esfera unidad. Carta

$$\mathbb{X}(\theta, \phi) = (\sin \phi \cos \theta, \sin \phi \sin \theta, \cos \phi), \quad \text{para } 0 < \theta < 2\pi, 0 < \phi < \pi.$$

Se tiene

$$\begin{aligned} \mathbb{X}_\theta &= (-\sin \phi \sin \theta, \sin \phi \cos \theta, 0), \\ \mathbb{X}_\phi &= (\cos \phi \cos \theta, \cos \phi \sin \theta, -\sin \phi), \end{aligned} \quad \Rightarrow \quad \begin{cases} E(\theta, \phi) = \sin^2 \phi, \\ G(\theta, \phi) \equiv 1, \\ F(\theta, \phi) \equiv 0. \end{cases}$$

Meridianos y paralelos de la esfera se cortan perpendicularmente: $F \equiv 0$.

En la parametrización \mathbb{X} ,

- los meridianos se recorren se recorren con rapidez 1,
- el paralelo de colatitud ϕ se recorre con rapidez $\sin \phi$.

Ejemplo 5. Helicoide. Carta (global)

$$\mathbb{X}(u, \theta) = (u \cos \theta, u \sin \theta, \theta), \quad \text{para } \theta \in \mathbb{R}, 0 < u < \infty.$$

Se tiene

$$\begin{aligned} \mathbb{X}_u(u, \theta) &= (\cos \theta, \sin \theta, 0), \\ \mathbb{X}_\theta(u, \theta) &= (-u \sin \theta, u \cos \theta, 1), \end{aligned} \quad \Rightarrow \quad \begin{cases} E(u, \theta) \equiv 1, \\ G(u, \theta) = 1 + u^2, \\ F(u, \theta) \equiv 0. \end{cases}$$

Las curvas $u = \text{constante}$ son hélices. Las curvas $\theta = \text{constante}$ son rayos/semirrectas/peldaños. Estas curvas coordenadas se cortan ortogonalmente en cada intersección ($F \equiv 0$).

Los rayos $\theta = \text{constante}$ están parametrizados por longitud de arco.
La hélice $u = u_0$ se recorre con rapidez $\sqrt{1 + u_0^2}$.

Ejemplo 5. Superficie de revolución.

Curva $\gamma(s) = (a(s), b(s))$ en el semiplano derecho del plano YZ (es decir, $a(s) > 0$) que se recorre con longitud de arco, de manera que $\dot{a}^2(s) + \dot{b}^2(s) \equiv 1$.

Carta: $\mathbb{X}(\theta, s) = (a(s) \cos \theta, a(s) \sin \theta, b(s))$, para $\theta \in (0, 2\pi), s \in I$. Se tiene

$$\begin{aligned} \mathbb{X}_\theta(\theta, s) &= (-a \sin \theta, a \cos \theta, 0) \\ \mathbb{X}_s(\theta, s) &= (\dot{a}(s) \cos \theta, \dot{a}(s) \sin \theta, \dot{b}(s)) \end{aligned} \Rightarrow \begin{cases} E(\theta, s) = a^2(s), \\ G(\theta, s) = \dot{a}^2(s) + \dot{b}^2(s) \equiv 1, \\ F(\theta, s) \equiv 0. \end{cases}$$

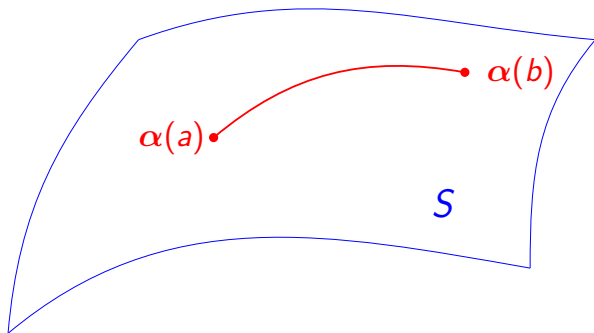
Meridianos y paralelos son perpendiculares. Los meridianos se recorren con rapidez 1.

3.2 Longitudes, ángulos, áreas

1. Longitudes

Si $\alpha : I \rightarrow \mathbb{R}^3$ es una curva y $a, b \in I, a < b$, la longitud de la traza de α entre $\alpha(a)$ y $\alpha(b)$ es

$$\text{longitud} = L(\alpha) = \int_a^b \|\dot{\alpha}(t)\| dt.$$



Si la traza de α está contenida en una superficie regular S , de hecho, en $\mathbb{X}(U)$, donde $\mathbb{X} : U \rightarrow S$ es una carta de S , entonces

$$\alpha(t) = \mathbb{X}(u(t), v(t)), \quad \text{para } t \in I.$$

$u(t), v(t)$ son las coordenadas respecto de \mathbb{X} de la curva α .

Se tiene

$$\dot{\alpha}(t) = \dot{u}(t) \mathbb{X}_u(\alpha(t)) + \dot{v}(t) \mathbb{X}_v(\alpha(t)).$$

Si $\mathbf{p} = \mathbb{X}(u(t), v(t))$, obviando la variable t , se tiene

$$\|\dot{\alpha}(t)\|^2 = l_{\mathbf{p}}(\dot{\alpha}(t)) = \dot{u}^2 E(u, v) + 2\dot{u}\dot{v} F(u, v) + \dot{v}^2 G(u, v).$$

Por tanto, la longitud de α se escribe, obviando de nuevo la variable t ,

$$\text{longitud}(\alpha) = \int_a^b \sqrt{\dot{u}^2 E(u, v) + 2\dot{u}\dot{v} F(u, v) + \dot{v}^2 G(u, v)} dt.$$

Se escribe (regla nemotécnica):

$$(\star) \quad ds^2 = E du^2 + 2F dudv + G dv^2.$$

A ds se le dice elemento de longitud:

$$\text{longitud} = \int ds.$$

A (\star) también se le dice primera forma fundamental.

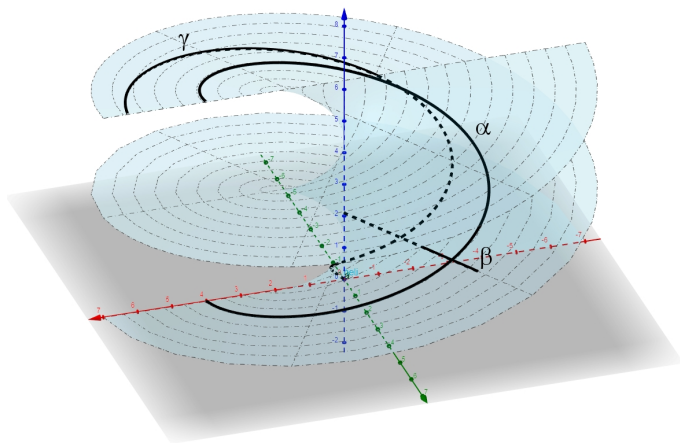
Ejemplo. En el helicoido,

$$\mathbb{X}(u, \theta) = (u \cos \theta, u \sin \theta, \theta),$$

$$\text{con } E(u, \theta) = 1, \quad F(u, \theta) = 0, \quad G(u, \theta) = 1 + u^2.$$

Calculamos la longitud de tres curvas sobre el helicoido:

- la curva $\alpha(t) = \mathbb{X}(u_0, t)$, con $t \in (0, 2\pi)$ (hélice, curva coordenada);
- la curva $\beta(t) = \mathbb{X}(t, \theta_0)$, con $t \in (0, 5)$ (segmento, curva coordenada);
- la curva $\gamma(t) = \mathbb{X}(t, t)$, $t \in (0, 2\pi)$.



(La curva $\alpha(t)$ se dibuja para $u_0 = 4$; la curva $\beta(t)$, con $\theta_0 = 2\pi/3$).

Para

$$\alpha(t) = \mathbb{X}(u_0, t) = (u_0 \cos t, u_0 \sin t, t), \quad t \in (0, 2\pi),$$

tenemos $u(t) = u_0$ y $\theta(t) = t$. Así que $\dot{u}(t) = 0$ y $\dot{\theta}(t) = 1$. Por lo tanto,

longitud(α)

$$\begin{aligned} &= \int_0^{2\pi} \sqrt{\dot{u}^2(t)E(u(t), \theta(t)) + 2\dot{u}(t)\dot{\theta}(t)F(u(t), \theta(t)) + \dot{\theta}^2(t)G(u(t), \theta(t))} dt \\ &= \int_0^{2\pi} \sqrt{1 + u_0^2} dt = 2\pi \sqrt{1 + u_0^2}. \end{aligned}$$

Si $u_0 = 4$, entonces la longitud es aproximadamente 25.91.

Para

$$\beta(t) = \mathbb{X}(t, \theta_0) = (t \cos \theta_0, t \sin \theta_0, \theta_0), \quad t \in (0, 5),$$

tenemos $u(t) = t$ y $\theta(t) = \theta_0$. Así que $\dot{u}(t) = 1$ y $\dot{\theta}(t) = 0$. Por lo tanto,

$$\begin{aligned} \text{longitud}(\beta) &= \int_0^5 \sqrt{\dot{u}^2 E + 2\dot{u}\dot{\theta}F + \dot{\theta}^2 G} dt \\ &= \int_0^5 \sqrt{1} dt = 5. \end{aligned}$$

Finalmente, para

$$\gamma(t) = \mathbb{X}(t, t) = (t \cos t, t \operatorname{sen} t, t), \quad t \in (0, 2\pi),$$

tenemos $u(t) = t$ y $\theta(t) = t$. Así que $\dot{u}(t) = 1 = \dot{\theta}(t)$. Por lo tanto,

$$\begin{aligned} \text{longitud}(\gamma) &= \int_0^{2\pi} \sqrt{\dot{u}^2 E + 2\dot{u}\dot{\theta} F + \dot{\theta}^2 G} dt \\ &= \int_0^{2\pi} \sqrt{1 + (1 + t^2)} dt = \int_0^{2\pi} \sqrt{2 + t^2} dt \\ &= \sqrt{2} \int_0^{2\pi} \sqrt{1 + t^2/2} dt \stackrel{t=\sqrt{2}h}{=} 2 \int_0^{\pi\sqrt{2}} \sqrt{1 + h^2} dh \\ &= 2 \left[\frac{1}{2} h \sqrt{1 + h^2} + \frac{1}{2} \ln(h + \sqrt{1 + h^2}) \right]_{h=0}^{h=\pi\sqrt{2}} \\ &= \pi \sqrt{2 + 4\pi^2} + \ln(\pi\sqrt{2} + \sqrt{1 + 2\pi^2}) \approx 22.43. \end{aligned}$$

Nota: por supuesto, se puede calcular la longitud de cualquiera de estas tres curvas entendiéndolas como curvas en \mathbb{R}^3 .

Por ejemplo, para $\gamma(t) = (t \cos t, t \sin t, t)$, con $t \in (0, 2\pi)$, tendríamos

$$\dot{\gamma}(t) = (\cos t - t \sin t, t \cos t + \sin t, 1)$$

y

$$\|\dot{\gamma}(t)\|^2 = 2 + t^2.$$

En suma,

$$\text{longitud} = \int_0^{2\pi} \sqrt{2 + t^2} dt.$$

Ejemplo. Las curvas más cortas en la esfera son los grandes círculos.

Carta usual de coordenadas esféricas:

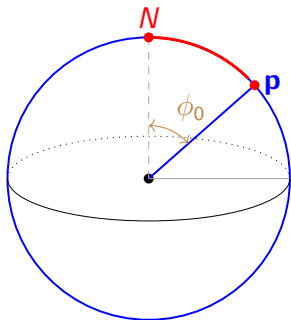
$$X(\theta, \phi) = (\cos \theta \sin \phi, \sin \theta \sin \phi, \cos \phi),$$

con $0 < \theta < 2\pi, 0 < \phi < \pi$.

Se tiene

$$E = \sin^2 \phi, \quad F \equiv 0, \quad G \equiv 1.$$

Basta ver (las rotaciones conservan longitudes) que una curva α que va desde el polo Norte N hasta un punto \mathbf{p} de la esfera que tiene coordenadas esféricas $\theta_0 = \pi/2$ y $\phi_0 \in (0, \pi)$ tiene longitud al menos ϕ_0 , pues el meridiano entre el polo Norte N y \mathbf{p} tiene longitud ϕ_0 .



Pongamos que $\alpha(t) = (\theta(t), \phi(t))$ y que

$$\theta(a) = \pi/2 = \theta(b)$$

y que

$$\phi(a) = 0 \quad \text{y} \quad \phi(b) = \phi_0.$$

La longitud de α entre $\alpha(a)$ y $\alpha(b)$ es

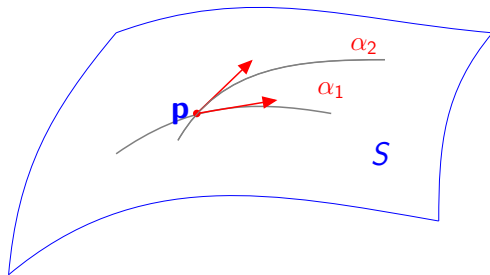
$$\begin{aligned}\text{longitud} &= \int_a^b \sqrt{\dot{\theta}^2 E + 2\dot{\theta}\dot{\phi} F + \dot{\phi}^2 G} dt \\ &\quad [\text{usando } E = \sin^2 \phi, F \equiv 0, G \equiv 1] \\ &= \int_a^b \sqrt{\dot{\phi}^2(t) + \sin^2 \phi(t) \dot{\theta}^2(t)} dt \\ &\geq \int_a^b \sqrt{\dot{\phi}^2(t)} dt = \int_a^b |\dot{\phi}(t)| dt \\ &\geq \left| \int_a^b \dot{\phi}(t) dt \right| = |\phi(b) - \phi(a)| = \phi_0.\end{aligned}$$

2. Ángulos

Tenemos dos curvas α_1 y α_2 cuyas trazas están contenidas en una superficie regular S .

En tiempos respectivos, t_1 y t_2 , pasan por un cierto punto \mathbf{p} de S :

$$\alpha_1(t_1) = \mathbf{p} = \alpha_2(t_2).$$



El ángulo ω con el que se cortan al pasar por \mathbf{p} es tal que

$$\cos \omega = \frac{\langle \dot{\alpha}_1(t_1), \dot{\alpha}_2(t_2) \rangle}{\|\dot{\alpha}_1(t_1)\| \|\dot{\alpha}_2(t_2)\|}.$$

Si $\mathbb{X}(u, v)$ es carta alrededor de \mathbf{p} y

$$\alpha_1(t) = \mathbb{X}(u_1(t), v_1(t)),$$

$$\alpha_2(t) = \mathbb{X}(u_2(t), v_2(t)),$$

son dos curvas que se cortan en $\mathbf{p} = \alpha_1(t_1) = \alpha_2(t_2)$, se tiene que (obviando evaluación en t_1, t_2)

$$\dot{\alpha}_1 = \mathbb{X}_u \dot{u}_1 + \mathbb{X}_v \dot{v}_1,$$

$$\dot{\alpha}_2 = \mathbb{X}_u \dot{u}_2 + \mathbb{X}_v \dot{v}_2,$$

Por lo tanto (obviando de nuevo la evaluación en t_1, t_2),

$$\cos \omega = \frac{E \dot{u}_1 \dot{u}_2 + F(\dot{u}_1 \dot{v}_2 + \dot{u}_2 \dot{v}_1) + G \dot{v}_1 \dot{v}_2}{\sqrt{E \dot{u}_1^2 + 2F \dot{u}_1 \dot{v}_1 + G \dot{v}_1^2} \sqrt{E \dot{u}_2^2 + 2F \dot{u}_2 \dot{v}_2 + G \dot{v}_2^2}}.$$

Las funciones E , F y G se evalúan en $(u_1(t_1), v_1(t_1))$, o lo que es lo mismo, en $(u_2(t_2), v_2(t_2))$. Las derivadas \dot{u}_1 y \dot{v}_1 se evalúan en t_1 , mientras que las derivadas \dot{u}_2 y \dot{v}_2 se evalúan en t_2 .

Ejemplo 1. El caso $F \equiv 0$, curvas coordenadas perpendiculares.

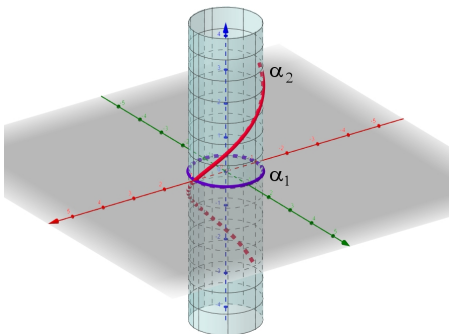
Carta genérica $\mathbb{X}(u, v)$, con $(u, v) \in U$, para la que $F \equiv 0$. Las curvas coordenadas son

- $\alpha_1(t) = \mathbb{X}(u_1(t), v_1(t)) = \mathbb{X}(t, v_0)$;
- $\alpha_2(t) = \mathbb{X}(u_2(t), v_2(t)) = \mathbb{X}(u_0, t)$.

Se cortan en $\alpha_1(t_1) = \alpha_2(t_2)$, donde $t_1 = u_0$ y $t_2 = v_0$.

Como $\dot{v}_1 = 0$ y $\dot{u}_2 = 0$, solo quedaría el término $F \dot{u}_1 \dot{v}_2$, que es también nulo.

Ejemplo 2 (fácil). Ángulo de corte de dos curvas en el cilindro.



Se cortan en el punto $(1, 0, 0)$.

Tomamos la carta del (medio) cilindro:

$$\mathbb{X}(\theta, h) = (\cos \theta, \sin \theta, h), \quad \theta \in (-\pi/2, \pi/2), h \in \mathbb{R},$$

para la que $E(\theta, h) = G(\theta, h) = 1$, $F(\theta, h) = 0$.

Queremos calcular el ángulo con el que se cortan las curvas

- $\alpha_1(t) = \mathbb{X}(\theta_1(t), h_1(t)) = \mathbb{X}(t, 0)$, con $t \in (-\pi/2, \pi/2)$;
- $\alpha_2(t) = \mathbb{X}(\theta_2(t), h_2(t)) = \mathbb{X}(t, t)$, con $t \in (-\pi/2, \pi/2)$;

Las curvas se cortan en el punto $(1, 0, 0) = \mathbb{X}(0, 0)$, por el que α_1 pasa en tiempo $t_1 = 0$ y α_2 , en tiempo $t_2 = 0$.

La fórmula para el ángulo de corte se simplifica, para el cilindro así parametrizado, a

$$\cos \omega = \frac{\dot{\theta}_1 \dot{\theta}_2 + \dot{h}_1 \dot{h}_2}{\sqrt{\dot{\theta}_1^2 + \dot{h}_1^2} \sqrt{\dot{\theta}_2^2 + \dot{h}_2^2}}.$$

Como $\dot{\theta}_1 = \dot{\theta}_2 = \dot{h}_2 = 1$ y $\dot{h}_1 = 0$, queda simplemente

$$\cos \omega = \frac{1}{\sqrt{2}} = \frac{\sqrt{2}}{2},$$

y el corte es con ángulo $\pi/4$.

Ejemplo 3 (espeluznante). Ángulo de corte de dos curvas en el [helicoides](#).

$$\mathbb{X}(u, \theta) = (u \cos \theta, u \sin \theta, \theta),$$

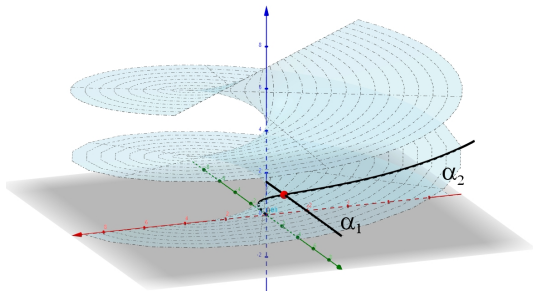
$$\text{con } E(u, \theta) = 1, \quad F(u, \theta) = 0, \quad G(u, \theta) = 1 + u^2.$$

La fórmula para el ángulo de corte se simplifica, en este caso, a

$$\cos \omega = \frac{\dot{u}_1 \dot{u}_2 + G \dot{\theta}_1 \dot{\theta}_2}{\sqrt{\dot{u}_1^2 + G \dot{\theta}_1^2} \sqrt{\dot{u}_2^2 + G \dot{\theta}_2^2}}.$$

Calculamos el ángulo con el que se cortan las curvas

- $\alpha_1(t) = \mathbb{X}(t^2, \pi/2)$, con $t \in (0, 5)$;
- $\alpha_2(t) = \mathbb{X}(\sinh t, t)$, $t \in (0, 2\pi)$.



Para $\alpha_1(t) = (u_1(t), \theta_1(t))$, se tiene

$$\begin{cases} u_1(t) = t^2, \\ \theta_1(t) = \pi/2, \end{cases} \implies \begin{cases} \dot{u}_1(t) = 2t, \\ \dot{\theta}_1(t) = 0. \end{cases}$$

Para $\alpha_2(t) = (u_2(t), \theta_2(t))$, se tiene

$$\begin{cases} u_2(t) = \sinh t, \\ \theta_2(t) = t, \end{cases} \implies \begin{cases} \dot{u}_2(t) = \cosh t, \\ \dot{\theta}_2(t) = 1. \end{cases}$$

¿Punto de corte? Como

$$\begin{aligned}\alpha_1(t) &= \mathbb{X}(t^2, \pi/2) = (t^2 \cos(\pi/2), t^2 \sin(\pi/2), \pi/2) = (0, t^2, \pi/2), \\ \alpha_2(t) &= \mathbb{X}(\sinh t, t) = (\sinh t \cos t, \sinh t \sin t, t),\end{aligned}$$

las curvas se cortan en el punto

$$\begin{aligned}\mathbf{p} &= (0, \sinh(\pi/2), \pi/2) = \mathbb{X}(\sinh(\pi/2), \pi/2) \\ &= \alpha_1(\underbrace{\sqrt{\sinh(\pi/2)}}_{= t_1}) = \alpha_2(\underbrace{\pi/2}_{= t_2}).\end{aligned}$$

Aprovechando que $\dot{\theta}_1 \equiv 0$, la fórmula para el coseno del ángulo de corte vienen resulta ser

$$\begin{aligned}\cos \omega &= \frac{\dot{u}_1(\sqrt{\sinh(\pi/2)}) \dot{u}_2(\pi/2)}{\sqrt{\dot{u}_1^2(\sqrt{\sinh(\pi/2)})} \sqrt{\dot{u}_2^2(\pi/2) + G(\sinh(\pi/2), \pi/2) \dot{\theta}_2^2(\pi/2)}} \\ &\quad [\dot{u}_1(t) = 2t, \dot{u}_2(t) = \cosh(t), \dot{\theta}_2(t) = 1, G(u, \theta) = 1 + u^2] \\ &= \frac{2\sqrt{\sinh(\pi/2)} \cosh(\pi/2)}{\sqrt{4 \sinh(\pi/2)} \sqrt{\cosh^2(\pi/2) + (1 + \sinh^2(\pi/2))}} \\ &= \frac{1}{\sqrt{2}}.\end{aligned}$$

¡Vaya!

Ejemplo 4. Curvas en el cilindro que cortan a las circunferencias horizontales con ángulo fijo de $\pi/4$.

Carta usual: $\mathbb{X}(\theta, h) = (\cos \theta, \sin \theta, h)$, con

$$E \equiv G \equiv 1, \quad F \equiv 0.$$

Las circunferencias horizontales se pueden parametrizar como

$$\alpha_{h_0}(t) = \mathbb{X}(t, h_0),$$

donde h_0 indica la altura a la que se encuentra esa circunferencia. Se tiene que $\dot{\alpha}_{h_0} = \mathbb{X}_\theta$.

Tomamos una curva genérica

$$\gamma(t) = \mathbb{X}(\theta(t), h(t)).$$

Así que $\dot{\gamma} = \mathbb{X}_{\theta} \dot{\theta} + \mathbb{X}_h \dot{h}$.

La condición es

$$\frac{1}{\sqrt{2}} = \cos \frac{\pi}{4} = \frac{\langle \dot{\alpha}, \mathbb{X}_{\theta} \rangle}{\|\dot{\alpha}\| \|\mathbb{X}_h\|} = \frac{\dot{\theta}(t)}{\sqrt{\dot{\theta}^2(t) + \dot{h}^2(t)}},$$

que equivale a

$$\dot{\theta}^2(t) \equiv \dot{h}^2(t).$$

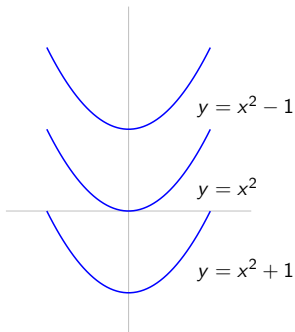
Así que

$$\theta(t) = \pm h(t) + \text{cte.}$$

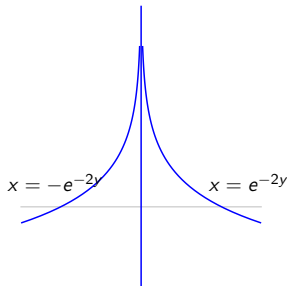
¡Hélices!

Ejemplo 5. En el plano, interesan las trayectorias ortogonales \mathcal{G} al sistema de curvas \mathcal{F} : $y = x^2 + a$, $a \in \mathbb{R}$.

Cada punto (x_0, y_0) del plano está en una y solo una curva de la familia \mathcal{F} .



CURVAS \mathcal{F}



CURVAS \mathcal{G}

Fijamos un punto del plano $\mathbf{p} = (x_0, y_0)$, que estará en la curva de \mathcal{F} de parámetro $a_0 = y_0 - x_0^2$.

Esa curva de \mathcal{F} se parametriza como

$$\alpha_{a_0}(t) = (t, a + t^2), \quad t \in \mathbb{R},$$

y pasa por \mathbf{p} para $t = x_0$, es decir, $\alpha_{a_0}(x_0) = (x_0, y_0)$.

Se tiene que $\dot{\alpha}_{a_0}(t) = (1, 2t)$.

Así que la curva pasa por $\mathbf{p} = (x_0, y_0)$ con vector velocidad $\dot{\alpha}_{a_0}(x_0) = (1, 2x_0)$.

Tomamos una curva $\gamma(t) = (x(t), y(t))$, que pase por el punto \mathbf{p} , digamos, en tiempo t^* . Es decir, $x(t^*) = x_0$ e $y(t^*) = y_0$.

La velocidad con la que pasa por \mathbf{p} es

$$\dot{\gamma}(t^*) = (\dot{x}(t^*), \dot{y}(t^*)).$$

Exigimos que

$$(\dot{x}(t^*), \dot{y}(t^*)) \perp (1, 2x_0) = (1, 2x(t^*)).$$

La conclusión es que buscamos las curvas $(x(t), y(t))$ tales que **en cada t** se cumpla que

$$(\dot{x}(t), \dot{y}(t)) \perp (1, 2x(t)).$$

Es decir, curvas $(x(t), y(t))$ tales que

$$x'(t) + 2y'(t)x(t) = 0$$

(volvemos a las ' como notación habitual de ecuaciones diferenciales).

Suponemos $x(t) > 0$. Entonces

$$\begin{aligned} x'(t) + 2y'(t)x(t) = 0 &\Rightarrow x'(t)/x(t) = -2y'(t) \Rightarrow (\ln(x(t)))' = -2y'(t) \\ &\Rightarrow \ln(x(t)) = -2y(t) + \text{cte} \Rightarrow x(t) = b e^{-2y(t)}, \quad \text{con } b > 0. \end{aligned}$$

En general, debe cumplirse que

$$x(t) = b e^{-2y(t)} \quad \text{para } b \in \mathbb{R}.$$

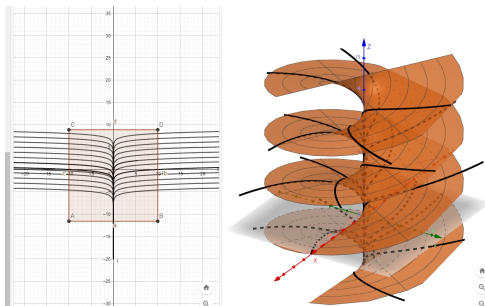
La familia de curvas \mathcal{G} está compuesta por las curvas $x = b e^{-2y}$, una por cada valor del parámetro $b \in \mathbb{R}$.

Ejemplo 6. En el **helicoid**, con carta (global)

$$\mathbb{X}(u, \theta) = (u \cos \theta, u \sin \theta, \theta), \quad \text{con } u \in \mathbb{R} \text{ y } \theta \in \mathbb{R},$$

para la que $E \equiv 1$, $F \equiv 0$ y $G(u, \theta) = 1 + u^2$, buscamos las **trayectorias ortogonales** \mathcal{G} al sistema de curvas $\mathcal{F} = \{u = Ce^{2\theta}\}$.

Cada punto \mathbf{p} del helicoid est en una y slo una curva de la familia \mathcal{F} .



Fijamos un punto $\mathbf{p} = \mathbb{X}(u_0, \theta_0)$ del helicoides. Entonces \mathbf{p} está en la curva de \mathcal{F} de parámetro $C_0 = u_0 e^{-2\theta_0}$.

Esa curva de \mathcal{F} se parametriza

$$\alpha_{C_0}(t) = \mathbb{X}(C_0 e^{2t}, t).$$

Se tiene que $\dot{\alpha}_{C_0}(t) = \mathbb{X}_u(C_0 e^{2t}, t) 2C_0 e^{2t} + \mathbb{X}_\theta(C_0 e^{2t}, t)$.

La curva pasa por \mathbf{p} cuando $t = \theta_0$: $\alpha_{C_0}(\theta_0) = \mathbb{X}(u_0, \theta_0)$.

Su vector velocidad al pasar por \mathbf{p} es

$$\begin{aligned}\dot{\alpha}_{C_0}(\theta_0) &= \mathbb{X}_u(u_0, \theta_0) 2C_0 e^{2\theta_0} + \mathbb{X}_\theta(u_0, \theta_0) \\ &= 2u_0 \mathbb{X}_u(u_0, \theta_0) + \mathbb{X}_\theta(u_0, \theta_0).\end{aligned}$$

Tomamos una curva $\gamma(t) = \mathbb{X}(u(t), \theta(t))$ que pase por \mathbf{p} , digamos en tiempo t^* ; es decir, $u(t^*) = u_0$ y $\theta(t^*) = \theta_0$.

La velocidad con la que γ pasa por \mathbf{p} es

$$\dot{\gamma}(t^*) = \mathbb{X}_u(u(t^*), \theta(t^*)) \dot{u}(t^*) + \mathbb{X}_\theta(u(t^*), \theta(t^*)) \dot{\theta}(t^*).$$

¡Exigimos! que este vector velocidad sea ortogonal a

$$2u_0 \mathbb{X}_u(u_0, \theta_0) + \mathbb{X}_\theta(u_0, \theta_0),$$

es decir, a

$$2u(t^*) \mathbb{X}_u(u(t^*), \theta(t^*)) + \mathbb{X}_\theta(u(t^*), \theta(t^*)).$$

La conclusión es que buscamos curvas $\mathbb{X}(u(t), \theta(t))$ tales que, para cada t ,

$$(\dot{u}(t)\mathbb{X}_u + \dot{\theta}(t)\mathbb{X}_\theta) \perp (2u(t)\mathbb{X}_u + \mathbb{X}_\theta).$$

En esta expresión, \mathbb{X}_u y \mathbb{X}_θ están evaluadas en $(u(t), \theta(t))$.

Es decir, queremos (usando $E \equiv 1, F \equiv 0, G = (1 + u^2)$) que

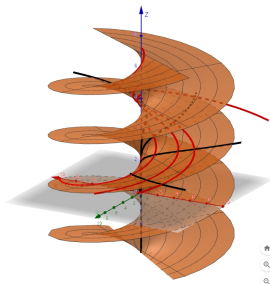
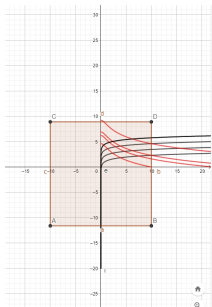
$$2u(t)\dot{u}(t) + (1 + u(t)^2)\dot{\theta}(t) = 0.$$

Detalle:

$$2u(t)\dot{u}(t)+(1+u(t)^2)\dot{\theta}(t) = 0 \implies \dot{\theta}(t) = -2 \frac{u(t)\dot{u}(t)}{1+u(t)^2} \implies \theta(t) = \ln \frac{1}{1+u(t)^2} + \text{cte.}$$

La familia \mathcal{G} está compuesta de las curvas (una por cada valor de $K > 0$):

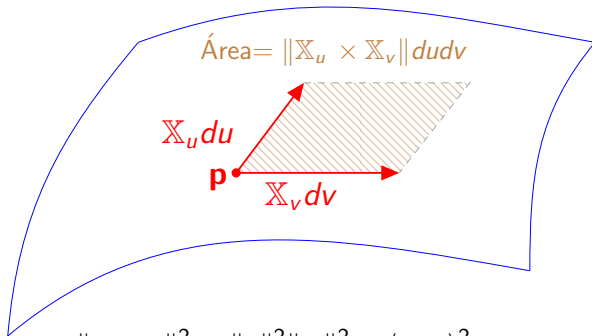
$$u = \pm \sqrt{Ke^{-\theta} - 1}, \quad \text{para } \theta < \ln K.$$



3. Áreas

$$\text{Área de } \mathbb{X}(U) = \int_U \|\mathbb{X}_u \times \mathbb{X}_v\| \, du dv$$

Idea:



$$\|\mathbf{v} \times \mathbf{w}\|^2 = \|\mathbf{v}\|^2 \|\mathbf{w}\|^2 - \langle \mathbf{v}, \mathbf{w} \rangle^2,$$

$$\|\mathbb{X}_u \times \mathbb{X}_v\| = \sqrt{EG - F^2}.$$

Ejemplo 1. Gráfica de una función, con carta (global)

$$\mathbb{X}(u, v) = (u, v, f(u, v)), \quad \text{para } (u, v) \in U,$$

para la que $E = 1 + f_u^2$, $G = 1 + f_v^2$ y $F = f_u f_v$.

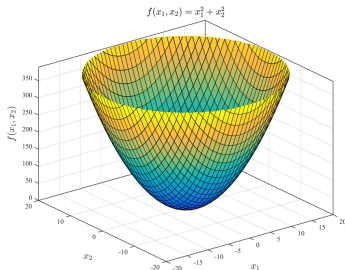
Se tiene que

$$\|\mathbb{X}_u \times \mathbb{X}_v\| = \sqrt{EG - F^2} = \sqrt{1 + f_u^2(u, v) + f_v^2(u, v)},$$

y por tanto,

$$\text{área de } \mathbb{X}(U) = \int_U \sqrt{1 + f_u^2(u, v) + f_v^2(u, v)} \, dudv.$$

Ilustración: sección del **paraboloide**, para el que $f(u, v) = u^2 + v^2$, con $u^2 + v^2 < R^2$:

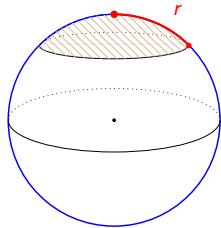


$$\begin{aligned}\text{área} &= \int_{u^2+v^2 < R^2} \sqrt{1 + 4(u^2 + v^2)} \, du dv \stackrel{\text{polares}}{=} 2\pi \int_0^R \sqrt{1 + 4r^2} \, r \, dr \\ &= 2\pi \left(\frac{1}{12} (1 + 4r^2)^{3/2} \Big|_0^R \right) = \frac{\pi}{6} ((1 + 4R^2)^{3/2} - 1).\end{aligned}$$

Ejemplo 2. Casquete polar. Dato: $r \in (0, \pi)$.

Con \mathbb{X} usual de coordenadas esféricas,

$$\sqrt{EG - F^2} = \sin \phi.$$



Sea $C(r) = \{\text{distancia a polo Norte es } \leq r\}$. Entonces

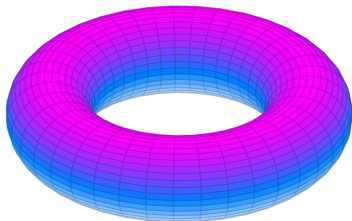
$$C(r) = \mathbb{X}(\{(\theta, \phi) : \theta \in [0, 2\pi], 0 < \phi < r\}).$$

Por tanto,

$$\text{Área de } C(r) = \int_0^{2\pi} \int_0^r \sin \phi d\phi d\theta = 2\pi \int_0^r \sin \phi d\phi = 2\pi(1 - \cos r) < \pi r^2.$$

(la comparación es con el área en el plano del disco de radio r).

Ejemplo 3. Área del toro. Tenemos $R > r > 0$.



Carta:

$$\mathbb{X}(u, v) = ((R + r \cos u) \cos v, (R + r \cos u) \sin v, r \sin u).$$

Cálculos:

$$\begin{aligned}\mathbb{X}_u(u, v) &= (-r \operatorname{sen} u \cos v, -r \operatorname{sen} u \operatorname{sen} v, r \cos u), \\ \mathbb{X}_v(u, v) &= (-(R + r \cos u) \operatorname{sen} v, (R + r \cos u) \cos v, 0).\end{aligned}$$

Así que

$$E = r^2, \quad F \equiv 0, \quad G = (R + r \cos u)^2, \quad \|\mathbb{X}_u \times \mathbb{X}_v\| = r(R + r \cos u).$$

Con $U = \{(u, v) : 0 < u < 2\pi, 0 < v < 2\pi\}$, tenemos

$$\begin{aligned}\text{Área toro} &= \int_0^{2\pi} \int_0^{2\pi} r(R + r \cos u) du dv \\ &= 4\pi^2 Rr + 2\pi r \int_0^{2\pi} \cos u du = 4\pi^2 Rr = (2\pi R)(2\pi r).\end{aligned}$$

Ejercicio: Comprobación de que la mitad “exterior” tiene área $2\pi r(R\pi + 2r)$, mientras que la mitad “interior” tiene área $2\pi r(R\pi - 2r)$.

Ejemplo 3. Área de **superficie de revolución**. Curva $\gamma(s) = (a(s), b(s))$ en semiplano derecho del plano YZ (es decir, $a(s) > 0$) que se recorre con longitud de arco, de manera que $\dot{a}^2(s) + \dot{b}^2(s) \equiv 1$.

Carta:

$$\mathbb{X}(\theta, s) = (a(s) \cos \theta, a(s) \sin \theta, b(s)), \quad \text{para } \theta \in (0, 2\pi), 0 < s < L.$$

Se tiene

$$E(\theta, s) = a^2(s), \quad G(\theta, s) \equiv 1, \quad F(\theta, s) \equiv 0.$$

Así que

$$\sqrt{EG - F^2} = a(s).$$

y por tanto,

$$\text{área} = \int_0^{2\pi} \int_0^L a(s) d\theta ds = 2\pi \int_0^L a(s) ds.$$

Nota 1. Si γ no está parametrizada por longitud de arco, entonces

$$\sqrt{EG - F^2} = \sqrt{EG} = a(t)\sqrt{\dot{a}^2(t) + \dot{b}^2(t)}.$$

Nota 2. Cálculo del área del toro como superficie de revolución: o bien parametrizando la curva generadora (circunferencia) en el plano YZ como

$$\gamma(t) = (R + r \cos t, r \sin t), \quad t \in (0, 2\pi),$$

(no parametrizada por longitud de arco), o bien como

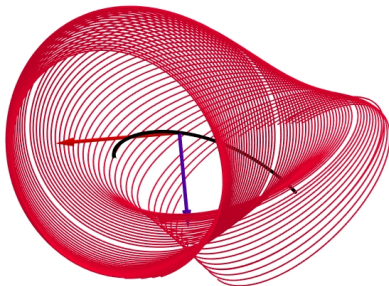
$$\gamma(s) = (R + r \cos(s/r), r \sin(s/r)), \quad s \in (0, 2\pi r),$$

que sí está parametrizada por longitud de arco.

Ejemplo 4. Área del tubo de radio r alrededor de una curva α (parametrizada por longitud de arco). Suponemos que la curvatura de α cumple que $\kappa(s) < 1/r$. Carta:

$$\mathbb{X}(s, \theta) = \alpha(s) + r (\cos \theta \mathbf{n}(s) + \sin \theta \mathbf{b}(s)),$$

con $0 \leq s \leq L$, $0 \leq \theta \leq 2\pi$.



Cálculos con fórmulas de Frenet–Serret (s es longitud de arco):

$$\begin{aligned}\mathbb{X}_s(s, \theta) &= (1 - \kappa(s)r \cos \theta) \mathbf{t}(s) + r\tau(s) \sin \theta \mathbf{n}(s) - r\tau(s) \cos \theta \mathbf{b}(s), \\ \mathbb{X}_\theta(s, \theta) &= -r \sin \theta \mathbf{n}(s) + r \cos \theta \mathbf{b}(s).\end{aligned}$$

De manera que

$$\begin{aligned}E(s, \theta) &= (1 - \kappa(s)r \cos \theta)^2 + r^2\tau^2(s), \\ F(s, \theta) &= -r^2\tau(s), \\ G(s, \theta) &= r^2, \\ EG - F^2 &= r^2(1 - \kappa(s)r \cos \theta)^2.\end{aligned}$$

En conclusión,

$$\sqrt{EG - F^2} = r(1 - \kappa(s)r \cos \theta).$$

Así que

$$\begin{aligned}\text{Área de tubo} &= \int_0^L \int_0^{2\pi} (r - r^2 \kappa(s) \cos \theta) d\theta ds \\ &= (2\pi r)L - r^2 \int_0^L \kappa(s) ds \int_0^{2\pi} \cos \theta d\theta = (2\pi r)L.\end{aligned}$$

Pero la **mitad** del tubo que apunta en dirección de \mathbf{n} , es decir, para $0 \leq s \leq L$, $-\pi/2 \leq \theta \leq \pi/2$, tiene área

$$\int_0^L \int_{-\pi/2}^{\pi/2} (r - r^2 \kappa(s) \cos \theta) d\theta ds = \pi rL - 2r^2 \int_0^L \kappa(s) ds$$

La otra mitad del tubo (que apunta en dirección contraria a \mathbf{n}) tiene área

$$rL\pi + 2r^2 \int_0^L \kappa(s) ds.$$

Ejercicio. Interpretar el toro como un tubo: caras interior y exterior.